

Zooplancton.

Fiche 24.

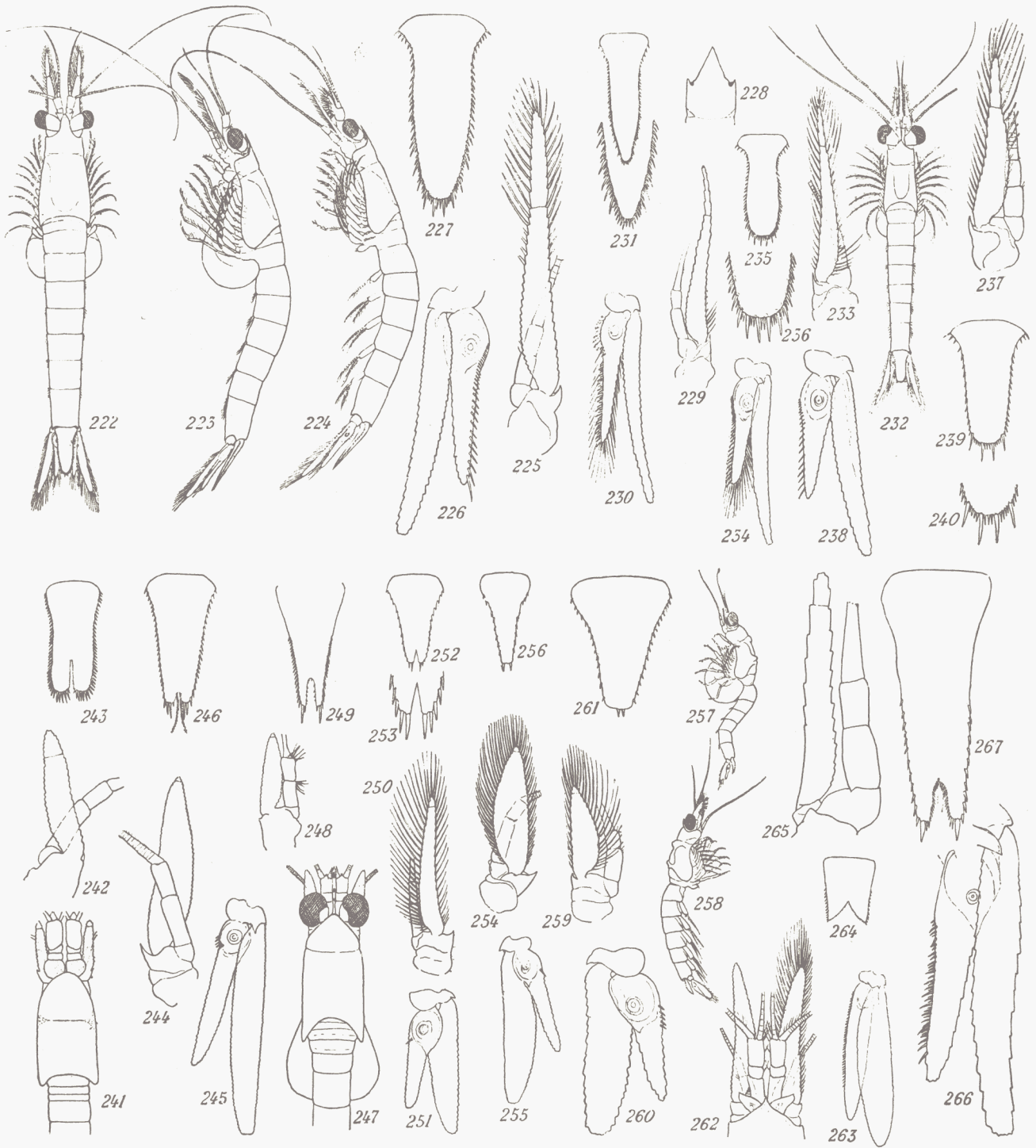
MYSIDACEA

Fam. Mysidae (suite 5): MYSINAE (suite 3):

Leptomysini.

(Par H. Nouvel).

1950.



(D'après divers auteurs. — Echelles différentes).

Fam. MYSIDAE Dana (suite 5)
Sous-fam. MYSINAE Hansen (suite 3)
Tribu Leptomysini Hansen

6^e article des pattes thoraciques avec 2 ou 3 articulations dont aucune n'est oblique. Chez les ♂, les 4 paires postérieures de pléopodes sont bien développées, natatoires (except. *Mysidetes*): l'exopodite de la 4^e paire, plus allongé, porte, à l'extrémité, des soies modifiées; l'endopodite est normal. Ecaïlle antennaire lancéolée, sans épines, le bord externe entièrement garni de soies.

Genre LEPTOMYSIS G. O. Sars

Clé de détermination des espèces considérées :

- I. La pointe de la plaque rostrale atteint (ou presque) l'extrémité de l'article basal du pédoncule antennulaire. Epines latérales du telson inégales dans la moitié distale II
La pointe de la plaque rostrale atteint, au plus, le milieu de l'article basal du pédoncule antennulaire. Epines latérales du telson subégales *linguura et sardica*
- II. Une petite encoche de chaque côté de la base de la plaque rostrale. Téguments hérissés de petites plaquettes. Epines inégales le long du bord interne de la rame interne des uropodes *gracilis*
Pas de petite encoche de chaque côté de la base de la plaque rostrale. Téguments lisses. La rame interne des uropodes porte, le long de son bord interne, des épines de longueur régulièrement croissante vers l'extrémité *mediterranea*
63. *L. gracilis* G. O. Sars 1864. — (Fig. 228—231). — G. O. Sars, 1879, pl. XIX—XX. Colosi, 1929, fig. 10—12. Zimmer, 1909, fig. 270—273. 1933, fig. 55, 56, 67. Sars 1879, pl. XXI. Zimmer, 1909, fig. 274—276. 1933, fig. 52, 53, 54. — *L. sardica*: G. O. Sars, 1877, pl. 36.
Nota. — En dehors des localités typiques, il est actuellement à peu près impossible de rapporter les nombreuses variétés et races locales à l'une ou l'autre de ces 2 espèces. En réalité, il existe, sans doute, plusieurs espèces distinctes (*L. linguura* a été décrite des côtes S. de Norvège, *L. sardica*, du golfe de Cagliari, Sardaigne).
64. *L. mediterranea* G. O. Sars 1877. — (Fig. 222—227). — G. O. Sars, 1877, pl. 14—16. Zimmer, 1909, fig. 264—269. Colosi, 1929, fig. 13a—c.
- 65 et 65bis. *L. linguura* G. O. Sars 1869 et *L. sardica* G. O. Sars 1877. — (Fig. 232—236 et 237—240). — *L. linguura*: G. O.

Genre BATHYMYSIS Tattersall

66. *B. helgae* Tattersall 1907. — (Fig. 241—243). — Tattersall, 1911b, pl. 1, fig. 2; pl. IV, fig. 9—10; pl. VII, fig. 1—7.

Genre MYSIDEIS G. O. Sars

67. *M. insignis* G. O. Sars 1864 (= *Mysidopsis hibernica* Norman 1892b). — (Fig. 244—246). — G. O. Sars, 1879, pl. 1X et X. Zimmer, 1909, fig. 244—250. 1933, fig. 26—27.

Genre MYSIDETES Holt & Tattersall

68. *M. farrani* Holt & Tatt. 1905. — (Fig. 247—249). — Holt & Tattersall, 1906b, pl. V. Zimmer, 1909, fig. 280—283.

Légende des Figures.

- Fig. 222—227. *Leptomysis mediterranea*: 222, ♀, vue dorsale; 223, ♀, vue latérale; 224, ♂, vue latérale; 225, ♀, écaïlle antennaire; 226, uropode droit, face inférieure; 227, telson.
- Fig. 228—231. *Leptomysis gracilis*: 228, partie antérieure de la carapace, vue dorsale; 229, base de l'antenne; 230, uropode gauche, face inférieure; 231, telson.
- Fig. 232—236. *Leptomysis linguura*: 232, ♀, vue dorsale; 233, base de l'antenne; 234, uropode gauche, face inférieure; 235, telson; 236, extrémité du telson.
- Fig. 237—240. *Leptomysis sardica*: 237, base de l'antenne; 238, uropode gauche, face inférieure; 239, telson; 240, extrémité du telson.
- Fig. 241—243. *Bathymysis helgae*: 241, ♂, partie antérieure, vue dorsale; 242, base de l'antenne; 243, telson.
- Fig. 244—246. *Mysideis insignis*: 244, base de l'antenne; 245, uropode gauche, face inférieure; 246, telson.

- Fig. 247—249. *Mysidetes farrani*: 247, ♀, partie antérieure, vue dorsale; 248, base de l'antenne; 249, telson.
- Fig. 250—253. *Mysidopsis angusta*: 250, base de l'antenne; 251, uropode gauche, face inférieure; 252, telson; 253, extrémité du telson.
- Fig. 254—256. *Mysidopsis didelphys*: 254, base de l'antenne; 255, uropode droit, face inférieure; 256, telson.
- Fig. 257—261. *Mysidopsis gibbosa*: 257, ♀, vue latérale; 258, ♂, vue latérale; 259, base de l'antenne; 260, uropode droit, face inférieure; 261, telson.
- Fig. 262—264. *Pseudomysis abyssii*: 262, ♀, partie antérieure, vue dorsale; 263, uropode gauche, face inférieure; 264, telson.
- Fig. 265—267. *Tenagomysis atlantica*: 265, base de l'antenne; 266, uropode gauche, face inférieure; 267, telson.

Genre MYSIDOPSIS G. O. Sars

Clé de détermination des espèces considérées :

- I. L'extrémité du telson présente une encoche triangulaire. L'écaille antennaire est plus de 7 fois plus longue que large *angusta*
 Telson sans encoche. Ecaille antennaire 3 à 4 fois plus longue que large II
- II. La rame interne des uropodes ne présente qu'une seule épine, du côté interne, près du statocyste. Plaque rostrale bien proéminente, triangulaire *didelphys*
 Plusieurs épines près du statocyste (parfois une seule! vérifier la forme du telson). Plaque rostrale très obtuse. La carapace possède deux bosses dorsales *gibbosa*
69. *M. angusta* G. O. Sars 1864. — (Fig. 250—253). — G. O. Sars, 1872, pl. VII, fig. 12—24. Zimmer, 1909, fig. 251—254. 1933, fig. 28, 29.
70. *M. didelphys* (Norman 1863). — (Fig. 254—256). — G. O. Sars, 1872, pl. VII. Zimmer, 1909, fig. 255—260. 1933, fig. 57, 58, 71. Bacesco, 1941b, fig. 9.
71. *M. gibbosa* G. O. Sars 1864. — (Fig. 257—261). G. O. Sars, 1872, pl. VIII, fig. 1—13. Colosi, 1929, fig. 9a—d. Zimmer, 1909, fig. 261—263. 1933, fig. 59, 60.

Genre PSEUDOMYSIS G. O. Sars

72. *Ps. abyssi* G. O. Sars 1879. — (Fig. 262—264). — G. O. Sars, 1885b, pl. V, fig. 13—21; pl. XX, fig. 18—20. Ohlin, 1901, fig. 6. Hansen, 1908, pl. V, fig. 5a—5d. Zimmer, 1909, fig. 277—279.

Genre TENAGOMYSIS Thomson

73. *T. atlantica* Nouvel 1942. — (Fig. 265—267). — Nouvel, 1943, pl. V, fig. 148—162.

Références

voir fiches 19, 20 et 22.

Distribution (<i>Leptomysini</i>)	Espèces
Islande	67, 70.
N. de la Norvège	—
W. —	67, 70, 71.
S. —	63, 65, 67, 69, 70, 71.
Skagerak	63, 67, 69, 70, 71.
Kattegat	63, 69, 70, 71.
Sund	(63), (70), (71).
Baltique	—
N. de l'Ecosse, Shetland, Féroë	63, 66, 70.
E. de l'Ecosse	63, (65?), 69, 70, 71.
S.-W. de la Mer du Nord	63, 64, (65?), 69, 70, 71.
S.-E. —	63, 64, 69.
Manche	63, 64, (65?), (65bis?), 69, 70, 71.
W. de l'Ecosse	63, (65?), 69, 70, 71.
W., S.-W. de l'Irlande	63, 64, (65?), 66, 67, 68, 69, 70, 71.
Mer d'Irlande	63, 64, (65?), 70, 71.
Golfe de Gascogne	63, 64, 67, 68, 70, 71, 73.
Mers arctiques	72.
Mers de Kara, Barents	—
Entre Norvège et Islande	72.